	Общество с ограниченной о	тветственностью	
		УТВЕРЖДАЮ Технический директ	op
			2018
	ФЛАНЕЦ DN 300 Расчеты	PN 160	
	ФР300-160 Р	P	
Подп. и дата			
Инв. № дубл.			
Взам. инв. №			
Подп. и дата			
Инв. № подл.			

Содержание Список литературы......12 ФР300-160 РР Изм Лист № докум. Подп. Дата Разраб. Лист Листов Лит. Пров. T 2 13 Расчет фланца Зав.отд. DN 300 PN 160

Расчеты

Взам. инв. №

Подп. и дата

нв. № подл.

Н.контр.

Утв.

000 «»

1 Исходные данные для расчета

Данные для расчета фланца приведены в таблице 1.1.

Таблица 1.1

Параметр	Обозначение	Значение
Расчетное давление Р, МПа	P	16
Расчетная температура, °C	t	100
Прибавка на коррозию, мм	С	3

Подп. и дата								
Инв. № дубл.								
Взам. инв. №								
Подп. и дата								
Инв. № подл.							ФР300-160 РР	Лист
Ин	Изм	Лист	№ доку	M.	Подп.	Дата	₫	3 рмат А4

2 Расчет фланца 300-160-11-1-J-09Г2С ГОСТ 33259

Исходные данные

Изм	Лист	№ докум.	Подп.	Дата							4
					Ф1	P300-160 PP	•				Лист
	Допус	каемое напр	яжение ,	для ма	атериала фланца или бур уре в соответствии с ГОС	та свободного	[σ]	144		МПа	
	Допус	-	яжение ,		атериала фланца или бур соответствии с ГОСТ 34		c $[\sigma]^{20}$	3 164.:	5	мм МПа	
				еннес	е – положительное, наруж	кное – отрица:		_	16		
		•	J1 1		напомитани иза маст	WHOO OFFERE	гонт тто -	-			
		т цилиндриче гная темпера	_		триварного встык фланца	ı			100		
			•	-	рного встык фланца приварного встык фланца	a		£.	93 ₄ 18	MM MM	
					плоского фланца или бур	та свободного	фланца	a ~0			
	Толщ	ина втулки п	риварно	го вст	тык фланца в месте прива	арки к обечайн	се (тру-	S.	23		
		-	-		тык фланца в месте присс	рединения к та	арелке		58		
		кный диамет ина тарелки (- ·				78		
	• •	енний диаме кный диамет			та кпышки)				284 585		
	Удель	ное давлени	е обжати	ия про	кладки		9 _{06ж}	125		МПа	
	-	адочный коз					m a	5.5) (III	
	шпилі	ьки			инейного расширения ма	териала	$\alpha_{\rm g}$		05	1/°C	
	темпе	ратуре			материала шпильки при р		$E_{\mathfrak g}$	2.226	e+05	МПа	
		ль продольно	ой упруг	ости і	материала шпильки при т	гемпературе	E_{σ}^{20}	2.286	e+05	МПа	
	Номи ях	нальное допу	ускаемоє	напр	яжение для шпилек в раб	бочих услови-	$[\sigma]_{\!\scriptscriptstyle{N}}^{\!\scriptscriptstyle{F}}$	230		МПа	
	Номи	нальное допу	ускаемое	напр	яжение для шпилек при	затяжке	$[\sigma]_{\!\scriptscriptstyle{M}}^{\!\scriptscriptstyle{F}}$	230		МΠа	
	Расчё	гная темпера	тура шп	ильки	I		$t_{\scriptscriptstyle \mathcal{B}}$	97.6		$^{\circ}\mathrm{C}$	
	Расчё	гная темпера	тура				t	100		$^{\circ}\mathrm{C}$	
	Шири	на прокладк	И				b_{π}	22		MM	
		порными пов ний диаметр в	-		аек й или овальной прокладк	си	_	380		MM	
		•	-		верхностями гайки и гол	овки болта	Loo	156		MM	
	-	ы или нагруж о шпилек	кенному	сечен	ию наименьшего диамет	pa	n	16			
	Площ	адь поперечі	f_{θ}	1045		MM^2					
		т ту кный диамет	-				d	42		MM	
	Диаме	етр окружнос	сти распо	оложе	ения шпилек		D_{δ}	500		MM	
	-	риал проклад	-			Сталь 10895					
		оиал первого оиал и диаме		` -	шки)	09Γ2C KΠ 24: 20XH3A, Dian	-				
			1	,	`	000000100001					

- [
	Модуль продольной упругости материала фланца при температуре 20 $^{\circ}\mathrm{C}$	${E_1}^{20}$	1.99e+05	МПа	
	Модуль продольной упругости материала фланца при расчётной температуре	\mathcal{E}_1	1.91e+05	МПа	
	Температурный коэффициент линейного расширения материала фланца	$\alpha_{\dot{\phi}}$	1.16e-05	1/°C	
	Допускаемое значение общих мембранных и изгибных напряжений во фланце при затяжке в соответствии с п.8.10 ГОСТ 34233.1			МПа	
	Допускаемое значение общих мембранных и изгибных напряжений во фланце в рабочих условиях в соответствии с п.8.10 ГОСТ 34233.1	$[\sigma]_{M}$	216	МПа	
	Допускаемое значение суммарных общих и местных мембранных и изгибных напряжений во фланце при затяжке в соответствии с п.8.10 ГОСТ 34233.1	$[\sigma]_{\tilde{k}}$	493.5	МПа	
	Допускаемое значение суммарных общих и местных мембранных и изгибных напряжений во фланце в рабочих условиях в соответствии с п.8.10 ГОСТ 34233.1	$[\sigma]_{\tilde{x}}$	432	МПа	
	Результаты расчёта				
	Расчёт вспомогательных величин -для прокладки и ш	пилек	•		
	Эффективная ширина прокладки				
	$b_0 = \frac{b_n}{4} =$		5.5 мм		
	Податливость прокладки				
	y _n =		0 мм/Н		
┪	Податливость шпилек L				
	$y_{\mathfrak{G}} = \frac{L_{\mathfrak{G}}}{E_{\mathfrak{G}}^{20} f_{\mathfrak{G}} n} =$		4.709e-0	8 мм	/H
	где $L_{\varepsilon} = L_{\varepsilon 0} + 0.56d =$		179.5 мм	Л	
	Суммарная площадь сечения шпилек по внутреннему диаметру резьбы и	или			
	нагруженному сечению наименьшего диаметра $A_{s} = nf_{s} =$		1.672e+0	04 мм	\mathbf{I}^2
	Плечо усилий в шпильках				
	$b = 0.5(D_{\rm g} - D_{\rm cs}) =$		60 мм		
_	Плечо усилий в шпильках				
	$b = 0.5(D_{\rm g} - D_{\rm cm}) =$		60 мм		
	- для фланцев				
	- для фланцев Плечо усилия от действия давления внутри фланца				
\dashv	$e = 0.5(D_{cx} - D - S_3) =$		26.59 мм		
	где эквивалентная толщина втулки фланца				
	$S_{\mathfrak{p}} = \zeta S_0 =$	•	42.83 мм		
┨					
F					Лист
ŀ	ФР300-160 РР				
ŀ					5

Изм Лист

№ докум.

Подп.

Отношение наружного диаметра тарелки фланца к внутреннему диаметру

$$K = \frac{D_{\mathsf{x}}}{D} = 2.06$$

Расчётные коэффициенты, зависящие от соотношения размеров тарелки фланца (бурта)

$$\beta_{T} = \frac{K^{2}(1+8,55\lg K) - 1}{(1,05+1,945K^{2})(K-1)} = 1.484 \quad \beta_{U} = \frac{K^{2}(1+8,55\lg K) - 1}{1,36(K^{2}-1)(K-1)} = 3.129$$

$$\beta_{Y} = \frac{1}{K-1} \left(0,69+5,72 \frac{K^{2}\lg K}{K^{2}-1} \right) = 2.867 \quad \beta_{Z} = \frac{K^{2}+1}{K^{2}-1} = 1.617$$

Отношение толщины втулки в сечении S1 к толщине в сечении S0

$$\beta = \frac{S_1}{S_0} = 2.522$$

Относительная длина втулки фланца

$$x = \frac{l}{\sqrt{DS_0}} = 1.151$$

Расчётные коэффициенты, зависящие от соотношения размеров втулки фланца

$$\beta_{R} = 0.6938$$

$$\beta_{V} = 0.09619$$

Коэффициент увеличения изгибных напряжений в сечении S0 приварного встык фланца

$$f =$$
 1

Коэффициент

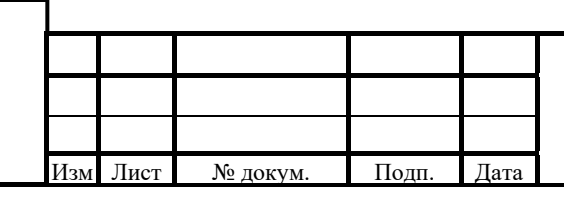
$$\lambda = \frac{\beta_F h + l_0}{\beta_T l_0} + \frac{\beta_V h^3}{\beta_U l_0 S_0^2} = 1.466$$

Угловая податливость фланца (бурта) при затяжке

$$y_{\Phi} = \frac{0.91\beta_{V}}{E^{20}\lambda S_{0}^{2}l_{0}} = 7.015e-12 \text{ 1/H MM}$$

Угловая податливость фланца (бурта), нагруженного внешним изгибающим моментом

$$y_{\phi_N} = \left(\frac{\pi}{4}\right)^3 \frac{D_6}{E_{20}D_8 h^3} = 4.385e-12 \text{ 1/H MM}$$



ФР300-160 РР

Коэффициенты жесткости фланцевого соединения

Жесткость фланцевого соединения

$$\gamma = \frac{1}{y_{\pi} + y_{\theta} \frac{E_{\theta}^{20}}{E_{\theta}} + \left(y_{\phi 1} \frac{E_{1}^{20}}{E_{1}} + y_{\phi 2} \frac{E_{2}^{20}}{E_{2}}\right) b^{2}} =$$

9.902е+06 Н/мм

Коэффициент жесткости фланцевого соединения, нагруженного внутренним давлением или внешней осевой силой

Коэффициент жесткости фланцевого соединения, нагруженного внешним изгибающим моментом

$$\alpha_{M} = \frac{y_{g} + 2y_{\phi,N}b\left(b + e - \frac{e^{2}}{D_{cn}}\right)}{y_{g} + y_{n}\left(\frac{D_{g}}{D_{cn}}\right)^{2} + 2y_{\phi,N}b^{2}} = 1.165$$

Расчёт фланцевого соединения на прочность и герметичность

Усилие, необходимое для смятия прокладки при затяжке

$$P_{obsc} = 0.5\pi D_{obsc} b_0 q_{obsc} =$$

4.104e+05 H

Усилие на прокладке в рабочих условиях, необходимое для обеспечения герметичности фланцевого соединения

$$R_{\pi} = \pi D_{\alpha} b_0 mp =$$

5.778e+05 H

Равнодействующая давления

$$Q_{\delta} = 0.785 D_{eq}^2 p =$$

1.814e+06 H

Расчётная нагрузка на шпильки при затяжке, необходимая для обеспечения обжатия прокладки и минимального начального натяжения шпилек

$$P_{e2} = \max \left\{ P_{obx}; 0, 4A_{e} \left[\sigma \right]_{x}^{e} \right\} =$$

1.538e+06 H

Расчётная нагрузка на шпильки при затяжке, необходимая для обеспечения в рабочих условиях давления на прокладку, достаточного для герметизации фланцевого соединения

$$P_{\rm el} = \alpha \left(Q_{\delta} + F \right) + R_{\rm s} + \frac{4\alpha_{\rm M} \left| M \right|}{D_{\rm cs}} =$$

2.391e+06 H

Расчётная нагрузка на шпильки при затяжке фланцевого соединения

$$P_{\mathfrak{G}}^{\mathfrak{M}} = \max\{P_{\mathfrak{G}1}, P_{\mathfrak{G}2}\} =$$

2.391e+06 H

Расчётная нагрузка на шпильки фланцевых соединений в рабочих условиях

$$P_{\theta}^{p} = P_{\theta}^{M} + (1 - \alpha)(Q_{\delta} + F) + \frac{4(1 - \alpha_{M})|M|}{D_{m}} =$$

2.391e+06 H

- Расчётная нагрузка на шпильки при F=0 и M =0

ФР300-160 РР

Лист

$$\sigma_{\text{G1}} = \frac{P_{\text{G}}^{\text{M}}}{A_{\text{G}}} = 143 \leq \left[\sigma\right]_{\text{M}}^{\text{G}} = 303.6 \text{ M}\Pi a$$

Расчётное напряжение в шпильках в рабочих условиях

$$\sigma_{62} = \frac{P_6^p}{A_6} = 143 \le [\sigma]_p^6 = 253 \text{ M}\Pi a$$

где:

- допускаемое напряжение для шпилек при затяжке

$$[\sigma]_{M}^{\theta} = \xi K_{yy} K_{yz} K_{yz} [\sigma]_{y}^{\theta} =$$

303.6 МПа

- допускаемое напряжение для шпилек в рабочих условиях и при расчёте на условия испытания

$$[\sigma]_{\mathbf{w}}^{\theta} = K_{\mathbf{w}} K_{\mathbf{w}} K_{\mathbf{w}} [\sigma]_{\mathbf{w}}^{\theta} =$$

253 МПа

- коэффициенты увеличения допускаемых напряжений при затяжке для фланцевых соединений, условий работы, условий затяжки, учета нагрузки от температурных деформаций

$$\xi = 1.2 \quad K_{yy} = 1 \quad K_{yx} = 1.1 \quad K_{ym} = 1$$

Расчёт фланцев на статическую прочность

Расчётный изгибающий момент, действующий на фланец при затяжке

$$M^{\mathcal{M}} = C_{\mathcal{F}} P_{\sigma}^{\mathcal{M}} b =$$

1.435е+08 Н мм

Расчётный изгибающий момент, действующий на фланец в рабочих условиях

$$M^{P} = C_{F} \max \left\{ \left[P_{6}^{P} b + \left(Q_{\pi} + Q_{FM} \right) e \right]; \left| Q_{\pi} + Q_{FM} \right| e \right\} =$$

1.917е+08 Н мм

Где

$$C_F = \max \left\{ 1; \sqrt{\frac{\frac{mD_g}{n}}{2d + \frac{6h}{m + 0.5}}} \right\} = 1$$

Меридиональное изгибное напряжение во втулке фланца в сечении S1

$$\sigma_1^{M} = \frac{M^{M}}{\lambda (S_1 - c)^2 D^*} =$$

94.58 MΠa

Меридиональное изгибное напряжение во втулке фланца в сечении S0

$$\sigma_0^M = f \sigma_1^M =$$

94.58 MΠa

Где

$$D^{\bullet} = \begin{cases} D & npu \ D \ge 20S_1 \\ D + S_0 & npu \ D \le 20S_1 u \ f > 1 \\ D + S_1 & npu \ D \le 20S_1 u \ f = 1 \end{cases} = 342 \text{ MM}$$

Радиальное напряжение в тарелке приварного встык фланца, плоского фланца и бурте свободного фланца в условиях затяжки

$$\sigma_{\rm R}^{\rm M} = \frac{\left(1,33\beta_{\rm F}h + l_0\right)}{\lambda h^2 l_0 D} M^{\rm M} =$$

107.1 МПа

Изм Лист № докум. Подп. Дата

ФР300-160 РР

Лист

$$\mathcal{O}_{\mathbf{T}}^{\mathbf{M}} = \frac{\beta_{\mathbf{Y}} M^{\mathbf{M}}}{h^2 D} - \beta_{\mathbf{Z}} \mathcal{O}_{\mathbf{R}}^{\mathbf{M}} =$$
 65.01 MIIa

Расчётные меридиональные изгибные напряжения в рабочих условиях в сечении S1:

$$\sigma_1^{\text{p}} = \frac{M^{\text{p}}}{\lambda (S_1 - c)^2 D^{\bullet}} = 126.4 \text{ M}\Pi a$$

в сечении S0:

$$\sigma_0^{\rm p} = f \sigma_1^{\rm p} = 126.4 \, \rm M \Pi a$$

Окружные мембранные напряжения в рабочих условиях в сечении S0

$$\sigma_{0mo}^{P} = \frac{pD}{2(S_0 - c)} = 113.6 \text{ M}\Pi a$$

Радиальное напряжение в тарелке приварного встык фланца, плоского фланца и бурте свободного фланца в рабочих условиях

$$\sigma_{R}^{p} = \frac{(1,33\beta_{F}h + l_{0})}{\lambda h^{2}l_{0}D}M^{p} = 143 \text{ M}\Pi a$$

Окружное напряжение в тарелке приварного встык фланца, плоского фланца и бурте свободного фланца в рабочих условиях

$$\sigma_{\mathbf{r}}^{\mathbf{p}} = \frac{\beta_{\mathbf{Y}} M^{\mathbf{p}}}{h^2 D} - \beta_{\mathbf{z}} \sigma_{\mathbf{R}}^{\mathbf{p}} = 86.86 \text{ M}\Pi a$$

Условия статической прочности фланца (K_т=1)

Расчётные общие мембранные и изгибные напряжения в сечении S1 фланца при затяжке

$$\max\left\{\left|\sigma_1^m + \sigma_R^m\right|, \left|\sigma_1^m + \sigma_T^m\right|\right\} = 201.6 \le K_T K_S [\sigma]_{m} = 296.1 \ \mathrm{MHa}$$

Расчётные общие мембранные и изгибные напряжения в сечении S1 фланца в рабочих условиях

$$\max\left\{\left|\sigma_{1}^{p}-\sigma_{\ln m}^{p}+\sigma_{R}^{p}\right|;\left|\sigma_{1}^{p}-\sigma_{\ln m}^{p}+\sigma_{R}^{p}\right|;\left|\sigma_{1}^{p}+\sigma_{\ln m}^{p}\right|\right\}=252.3\leq K_{T}K_{S}[\sigma]_{M}=259.2\ \mathrm{MHa}$$

Расчётные суммарные общие и местные мембранные и изгибные напряжения в сечении S0 при затяжке

$$\sigma_0^M = 94.58 \le 1.3 [\sigma]_R = 641.5 \text{ M}\Pi a$$

Расчётные суммарные общие и местные мембранные и изгибные напряжения в сечении S0 в рабочих условиях

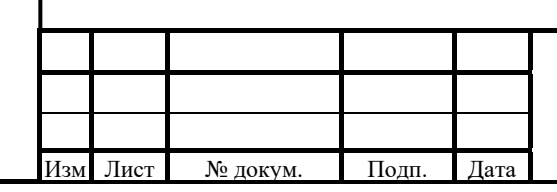
$$\max\left\{\left|\sigma_{0}^{p}\pm\sigma_{0\text{m.m.}}^{p}\right|;\;\left|0,3\sigma_{0}^{p}\pm\sigma_{0\text{m.o.}}^{p}\right|;\;\left|0,7\sigma_{0}^{p}\pm\left(\sigma_{0\text{m.m.}}^{p}-\sigma_{0\text{m.o.}}^{p}\right)\right|\right\}\;178.9\;\leq1,3\big[\sigma\big]_{R}^{p}$$

Коэффициент учета размеров тарелки фланца

$$K_{\rm S} = 1.2$$

Расчётные мембранные напряжения в сечении S0 в рабочих условиях

$$\max\{|\sigma_{0m,o}^{p}|, |\sigma_{0m,m}^{p}|\} 113.6 \le [\sigma] = 144 \text{ M}\Pi a$$



Взам. инв. №

Инв. № подл.

ФР300-160 РР

Расчётное напряжение в тарелке фланца при затяжке

$$\max\left\{\left|\sigma_{\mathbf{R}}^{\mathbf{M}}\right|; \left|\sigma_{\mathbf{T}}^{\mathbf{M}}\right.\right\} = 107.1 \le K_{\mathbf{T}}\left[\sigma\right] = 164.5 \text{ M}\Pi a$$

Расчётное напряжение в тарелке фланца в рабочих условиях

$$\max\left\{\left|\sigma_{\mathbf{r}}^{\mathbf{p}}\right|, \left|\sigma_{\mathbf{r}}^{\mathbf{p}}\right|\right\} = 143 \le K_{\mathbf{r}}\left[\sigma\right] = 144 \text{ M}\Pi a$$

Угол поворота приварного встык фланца, плоского фланца или бурта свободного фланца в рабочих условиях

$$\theta = M^p y_{\phi} \frac{E^{20}}{E} = 0.001401 \le K_{\theta} [\theta] = 0.006$$
 рад

где:

$$[\theta] = 0.006 \text{ рад}, \quad K_{\theta} = 1$$

Так как расчётная температура элементов фланцевого соединения не превышает $100\,^{\circ}$ С, в соответствии с п.4.7 ГОСТ 34233.4, проводить дополнительный расчёт элементов фланцевого соединения с учетом усилий, вызванных стесненностью температурных деформаций, нет необходимости.

Фланцевое соединение отвечает условиям прочности в соответствии с требованиями ГОСТ 34233.4-2017

Подп. и дата						
Инв. № дубл.						
Взам. инв. №						
Подп. и дата						
Инв. № подл.	Изм Лист № д	докум.	Подп.	Дата	ФР300-160 РР	Лист 10

			3 Заключен	ие			
	п		Проведен ра	асчет на	проч воряю	нность фланца на расчетные условия нагружения. Фактически от расчетным значениям.	e
ľa							
Подп. и дата							
Инв. № дубл							
Взам. инв. №							
Подп. и дата							
						<u>, </u>	
Инв. № подл						ФР300-160 РР	Іист
Иī	Изм	Лист	№ докум.	Подп.	Дата	1	11

Список литературы

- 1. ГОСТ 33259-2015 Фланцы арматуры, соединительных частей и трубопроводов на номинальное давление до PN 250. Конструкция, размеры и общие технические требования.
- 2. ГОСТ 34233.1 Сосуды и аппараты. Нормы и методы расчета на прочность. Общие требования
- 3. ГОСТ 34233.4 Сосуды и аппараты. Нормы и методы расчета на прочность. Расчет на прочность и герметичность фланцевых соединений

Подп. и дата				
Инв. № дубл.				
Взам. инв. №				
Подп. и дата				
Инв. № подл.	Изм Лист № докум.	Подп. Дата	ФР300-160 РР	Лист
•	115m THOL Nº AUNYM.	подп. дата	Фој	рмат А4

						Лист регист	рации изм	енений			
			Номера	листо:	в (стра	ниц)	Всего	Номер	Входящий		
	Изм.	изме- нен- ных	заме-		овых	аннулиро- ванных	листов (стра- ниц) в доку- менте	доку- мента	номер сопроводи- тельного документа дата	Под- пись	Дата
1											
п. и дата											
Подп. 1											
4											
Инв. № дубл.											
Инв. Ј											
IB. №											
Взам. инв. №											
Н											
и дата											
Подп. и дата											
Ţ.											
Инв. № подл.	\prod					<u> </u>		ЪР300-1 6			Лист
Инв.	Изм 3	Лист Л	• докум.	Подп.	Дата	1	•	F1 000-10	VVII		13